

ヒッグスファクトリーの解析技術

ILD software working group

MC production group Co convener

日本歯科大学 小野裕明

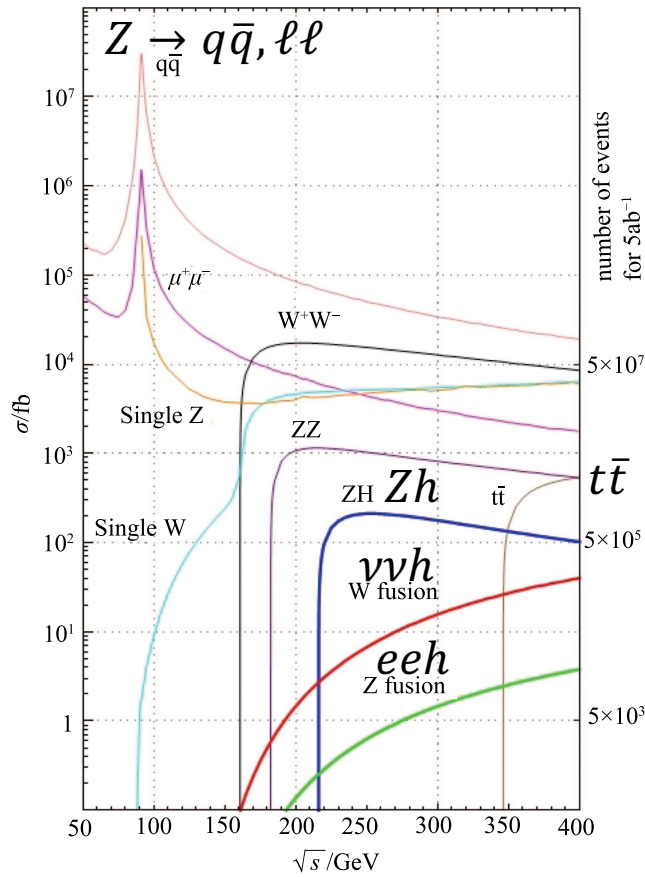
自己紹介

- 日本歯科大学 新潟歯学部 小野裕明
 - 歯科学生に物理・数学・コンピュータ実習などの講義
 - サーバー・ネットワーク管理など
- ヒッグスファクトリー実験 (ILD検出器グループ、ILC)
 - ILD software group MC production co convener
 - シンチレータカロリメータの開発
- Belle/Belle II
 - Distributed computing Data Production technical manager
→Grid data production のデータ生成、モニター
- 新しい常温硬化プラスチックシンチレータの開発など

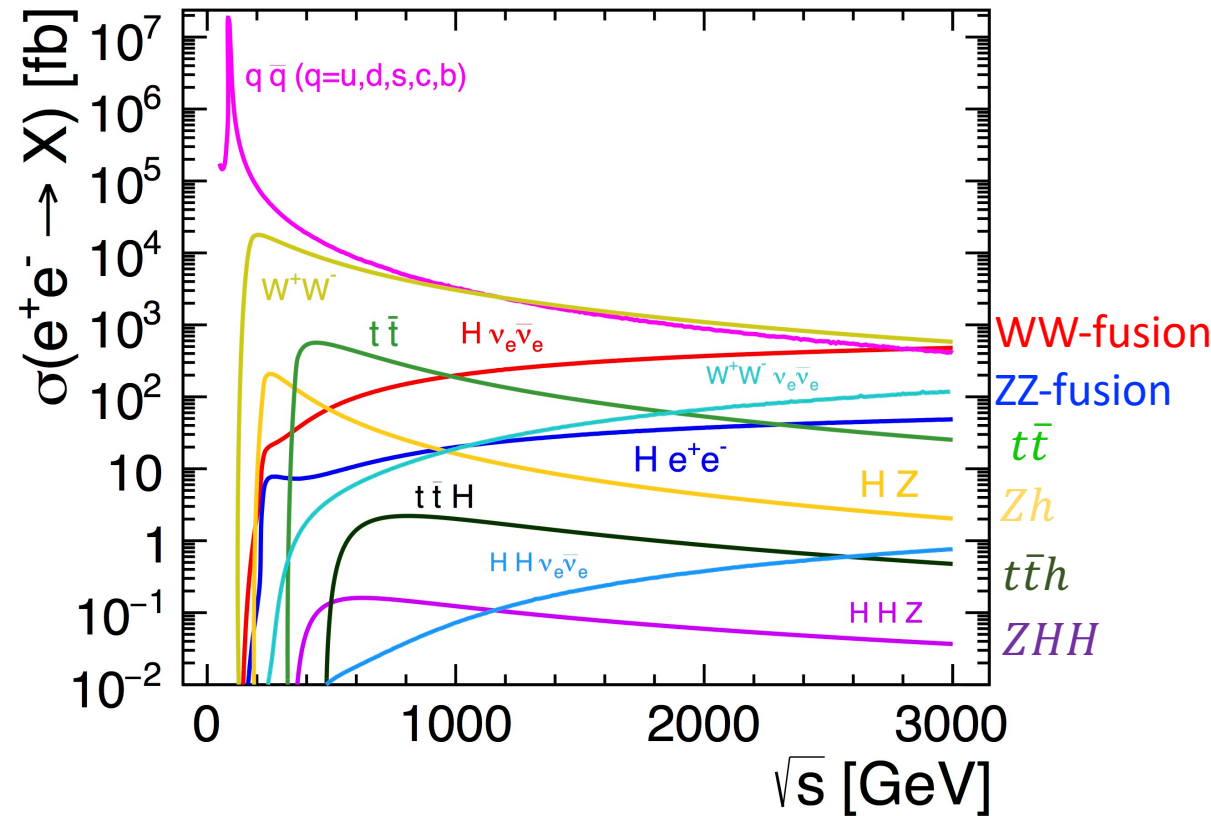
分散コンピューティングを使った研究などを主にやっています。

ヒッグスファクトリーでの物理解析

250~500 GeV : $e^+e^- \rightarrow Zh, t\bar{t}$



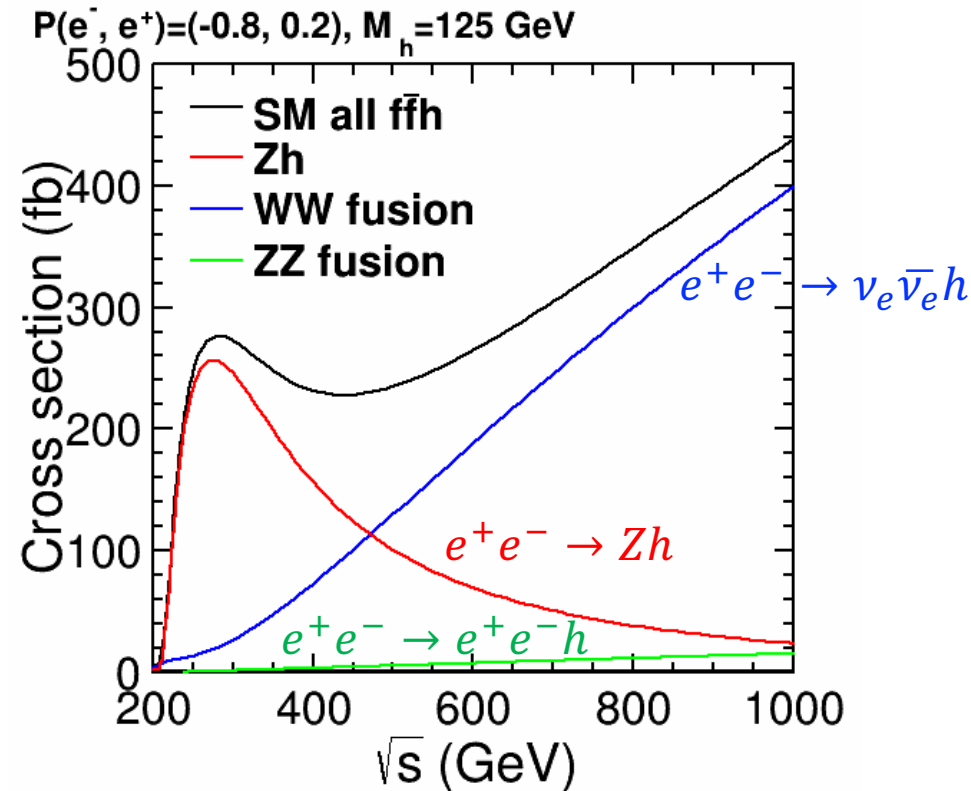
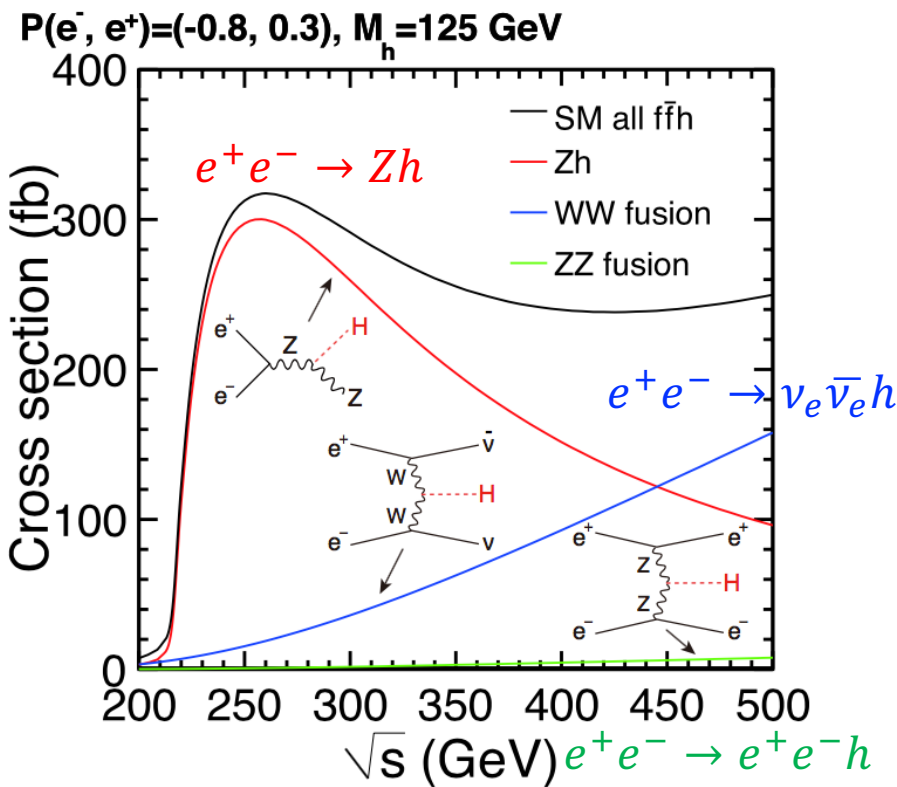
CEPC, Xin Mo et al 2016 Chinese Phys. C **40** 033001



500 GeV以上 : $e^+e^- \rightarrow \nu\nu h, eeh, t\bar{t}h$
 $e^+e^- \rightarrow ZHH, \nu\nu HH$ (ヒッグス自己結合)

ヒッグスファクトリーの解析技術 <http://clic.cern/physics-processes>

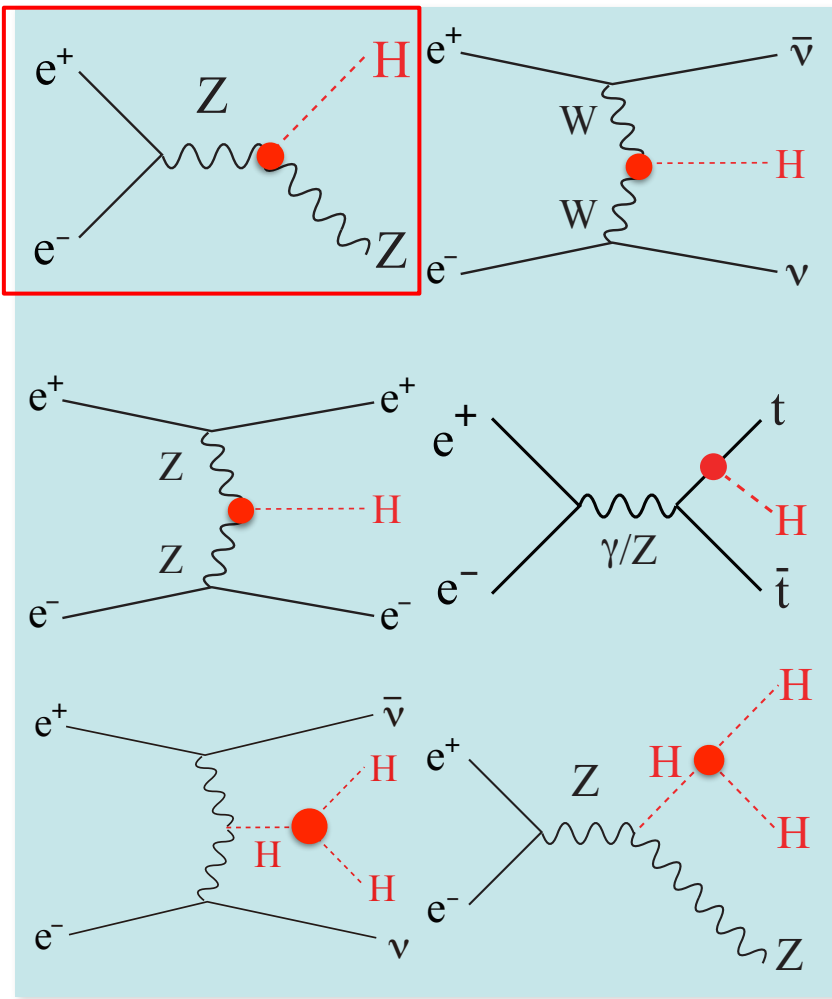
ヒッグス粒子の生成と崩壊



Higgs decay channels	$b\bar{b}$	$c\bar{c}$	gg	WW^*	$\mu^+\mu^-$	$\tau^+\tau^-$	ZZ^*	$\gamma\gamma$	$Z\gamma$
Higgs BRs	57.8%	2.7%	8.6%	21.6%	0.02%	6.4%	2.7%	0.23%	0.16%

重心系エネルギー 250 GeV では $e^+e^- \rightarrow Zh$ 生成断面積が最大
 $h \rightarrow b\bar{b}$ (2jet) 崩壊が最も多く $h \rightarrow q\bar{q}$ の割合が多い

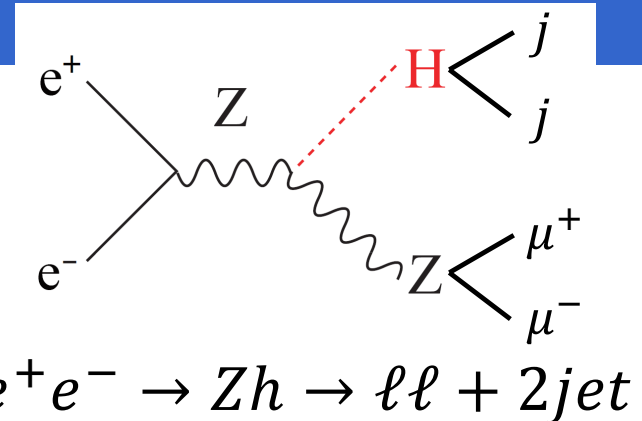
物理解析の流れ



例えば

$$e^+e^- \rightarrow Zh$$

$$Z \rightarrow q\bar{q}, \ell^+\ell^-, \nu\nu\bar{\nu}$$



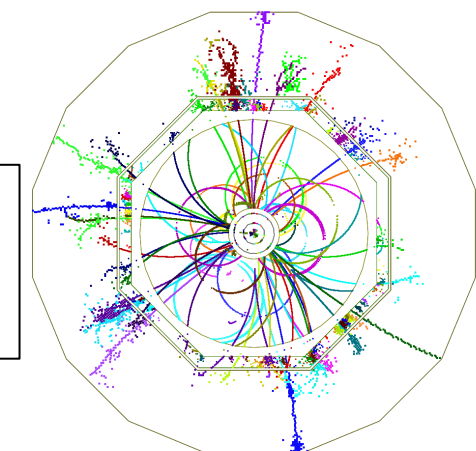
ヒッグスの崩壊は
 $h \rightarrow q\bar{q}, gg$ (2ジェット)
 が多いので、Zの崩壊により
 終状態がいくつか分かれる

$Zh \rightarrow \nu\bar{\nu} + 2j$: 2ジェット
 $Zh \rightarrow \ell\ell + 2j$: 2レプトン+2ジェット
 $Zh \rightarrow q\bar{q} + 2j$: 4 ジェット

終状態ごとに
 再構成手法を変更する
 → 解析プロセッサを作る

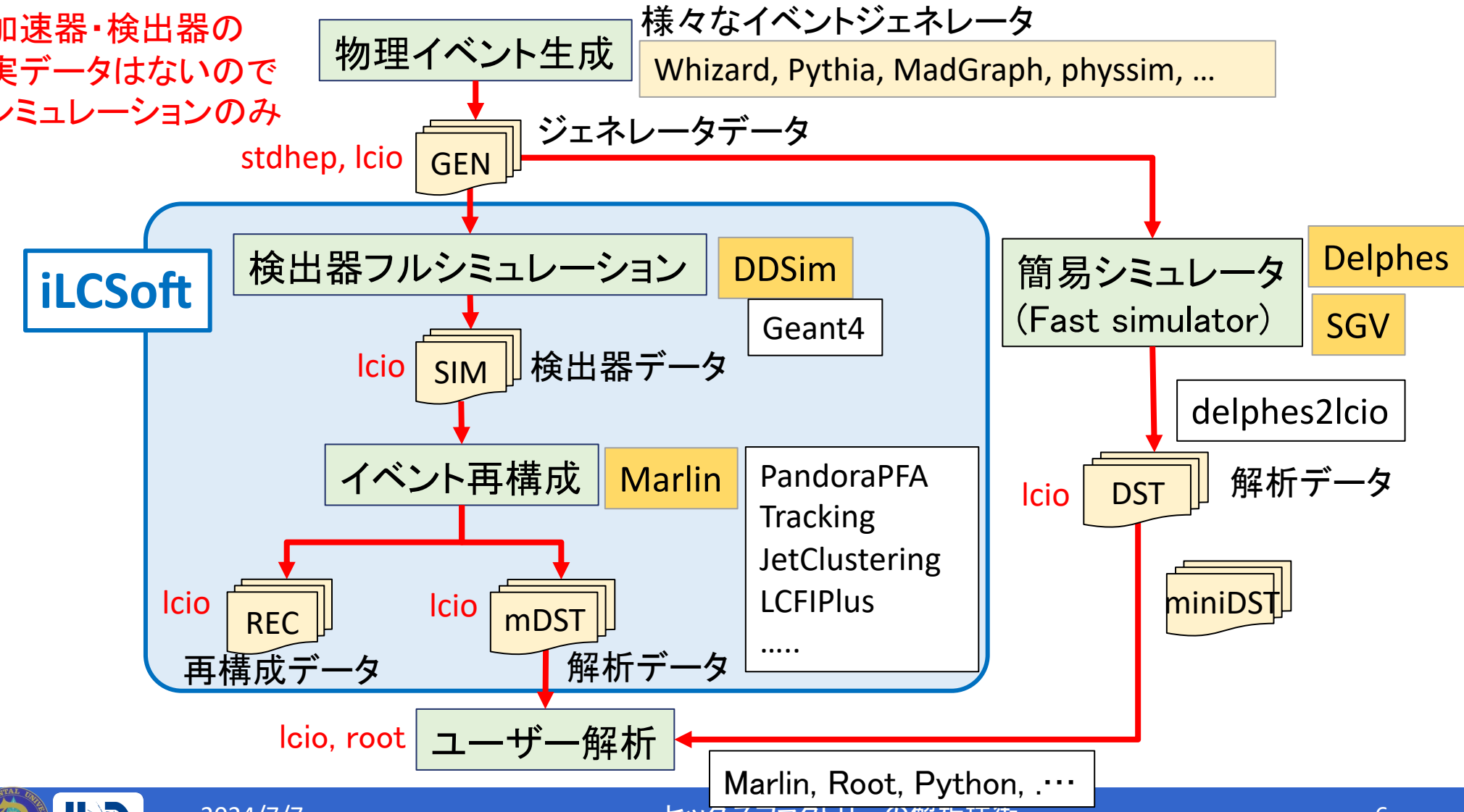
$t\bar{t} \rightarrow bWbW \rightarrow 6jet$ ($W \rightarrow q\bar{q}$)

$t\bar{t}$ - 6ジェットイベント



iLCSoftを使った物理解析の流れ

加速器・検出器の
実データはないので
シミュレーションのみ



物理イベント生成 (Whizard)

Whizard

マルチパートなイベントジェネレータ

ILC, CLIC, CEPC, FCCeeなど多くで使用されている

- $e^+e^- \rightarrow$ マルチフェルミオン SM 粒子 +多くのBSM事象

- 効率的な断面積の計算

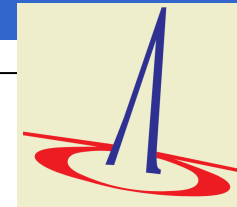
- ビーム偏極の取り扱いが可能

- beamstrahlung (CIRCE) や ISR 事象のスペクトルが利用可能

- ILDでは標準サンプルの生成に現在 Whizard 2.8.5 を使用

- 出力形式 : stdhep, LCIO, HepMC

<https://whizard.hepforge.org/>



SINDARIN ファイルで
入力情報を記述

ILD, SiDグループでは、共通で使用できる generator サンプルを
generator グループが集中的に作成している

共通 generator サンプルは
以下のELOGから参照可能

<https://ild.ngt.ndu.ac.jp/elog/genmeta/>

ID	status	process_id	Energy	process_name	process_type	Polarization	xsect	NbEvents	IntLumi	JobDate	program	U
Generator meta data. Additional information will be found in THIS LINK , Page 1 of 40												
List Find Login												
Threaded												
Goto page 1, 2, 3 ... 38, 39, 40 Next												
3913	OK	501283	500	2f_z_eem_d	2f_z_eem_d	el,pr	11532.343	200000	17.3425	2024-04-09	whizard-3_0_3	
3912	OK	501284	500	2f_z_eem_d	2f_z_eem_d	el,pr	29285.3026	200000	13.3394	2024-04-09	whizard-3_0_3	
3911	OK	501285	500	2f_z_eem_d	2f_z_eem_d	el,pr	59521.4041	200000	20.3349	2024-04-09	whizard-3_0_3	
3910	OK	501281	500	2f_z_eem_d	2f_z_eem_d	el,pl	11532.343	200000	17.3425	2024-04-09	whizard-3_0_3	
3909	OK	501279	500	2f_z_eem_c	2f_z_eem_c	el,pr	4644.3738	100000	11.8142	2024-04-09	whizard-3_0_3	
3908	OK	501280	500	2f_z_eem_c	2f_z_eem_c	el,pl	8170.5548	100000	12.2391	2024-04-09	whizard-3_0_3	
3907	OK	501278	500	2f_z_eem_c	2f_z_eem_c	el,pr	8546.5033	100000	11.7007	2024-04-09	whizard-3_0_3	
3906	OK	501277	500	2f_z_eem_c	2f_z_eem_c	el,pl	10402.3838	100000	11.8142	2024-04-09	whizard-3_0_3	
3905	OK	501275	500	2f_z_eem_b	2f_z_eem_b	el,pr	32352.007	100000	3.081	2024-04-09	whizard-3_0_3	
3904	OK	501276	500	2f_z_eem_b	2f_z_eem_b	el,pr	39335.468	100000	2.54223	2024-04-09	whizard-3_0_3	
3903	OK	501274	500	2f_z_eem_b	2f_z_eem_b	el,pl	42659.016	100000	2.34417	2024-04-09	whizard-3_0_3	
3902	OK	501273	500	2f_z_eem_b	2f_z_eem_b	el,pl	32352.007	100000	3.081	2024-04-09	whizard-3_0_3	
3901	OK	501271	500	2f_z_eem_b	2f_z_eem_b	el,pr	13234.073	100000	19.5131	2024-04-09	whizard-3_0_3	
3900	OK	501272	500	2f_z_eem_a	2f_z_eem_a	el,pl	65537.627	100000	15.2607	2024-04-09	whizard-3_0_3	
3899	OK	501270	500	2f_z_eem_a	2f_z_eem_a	el,pr	70597.551	100000	14.1646	2024-04-09	whizard-3_0_3	
3898	OK	501269	500	2f_z_eem_a	2f_z_eem_a	el,pl	51247.673	100000	19.5131	2024-04-09	whizard-3_0_3	
3897	OK	500181	250	ea_sf_zz_ll	ea_sf_zz_ll	el,zw	4,44659.68	40000	8957.16	2023-11-09	whizard-2_8_5	
3896	OK	500182	250	ea_sf_zz_leptonic	ea_sf_zz_leptonic	el,zw	4,44659.68	40000	6837.31	2023-11-09	whizard-2_8_5	
3895	OK	500195	250	ea_sf_zz_ll	ea_sf_zz_ll	el,pr	13.956513	70000	5051.78	2022-11-09	whizard-2_8_5	
3894	OK	500193	250	ea_sf_zz_ll	ea_sf_zz_leptonic	el,pr	13.845713	80000	5777.96	2022-11-09	whizard-2_8_5	
3893	OK	500171	250	ea_sf_zz_h	ea_sf_zz_hadronic	el,pr	20389968	2000	9808.75	2022-11-09	whizard-2_8_5	
3892	OK	500170	250	ea_sf_zz_h	ea_sf_zz_hadronic	el,pr	10000000	2000	9999.99	2022-11-09	whizard-2_8_5	
3891	OK	500207	250	ea_sf_zzww_leptonic	ea_sf_zzww_leptonic	el,zw	124667552	1000	7894.19	2023-11-09	whizard-2_8_5	
3890	OK	500205	250	ea_sf_zzww_leptonic	ea_sf_zzww_leptonic	el,pr	0.19409879	1000	5152.02	2022-11-09	whizard-2_8_5	
3889	OK	500179	250	ea_sf_zzww_h	ea_sf_zzww_hadronic	el,zw	0.72329533	4000	5530.24	2022-11-09	whizard-2_8_5	
3888	OK	500177	250	ea_sf_zzww_h	ea_sf_zzww_hadronic	el,pr	1.0954513	6000	5477.19	2022-11-09	whizard-2_8_5	

ヒッグスファクトリーの

ソフトウェアフレームワーク iLCSoft

iLCSoft

<https://github.com/iLCSoft/>
<https://ilcsoft.desy.de/portal>

ヒッグスファクトリー、
リニアコライダー実験の多くで使われている
ソフトウェアフレームワーク

CLIC, ILD, SiD,
FCC, CEPC, HPS, EIC, . . . Calice, LCTPC,

メインのコンポーネント

LCIO

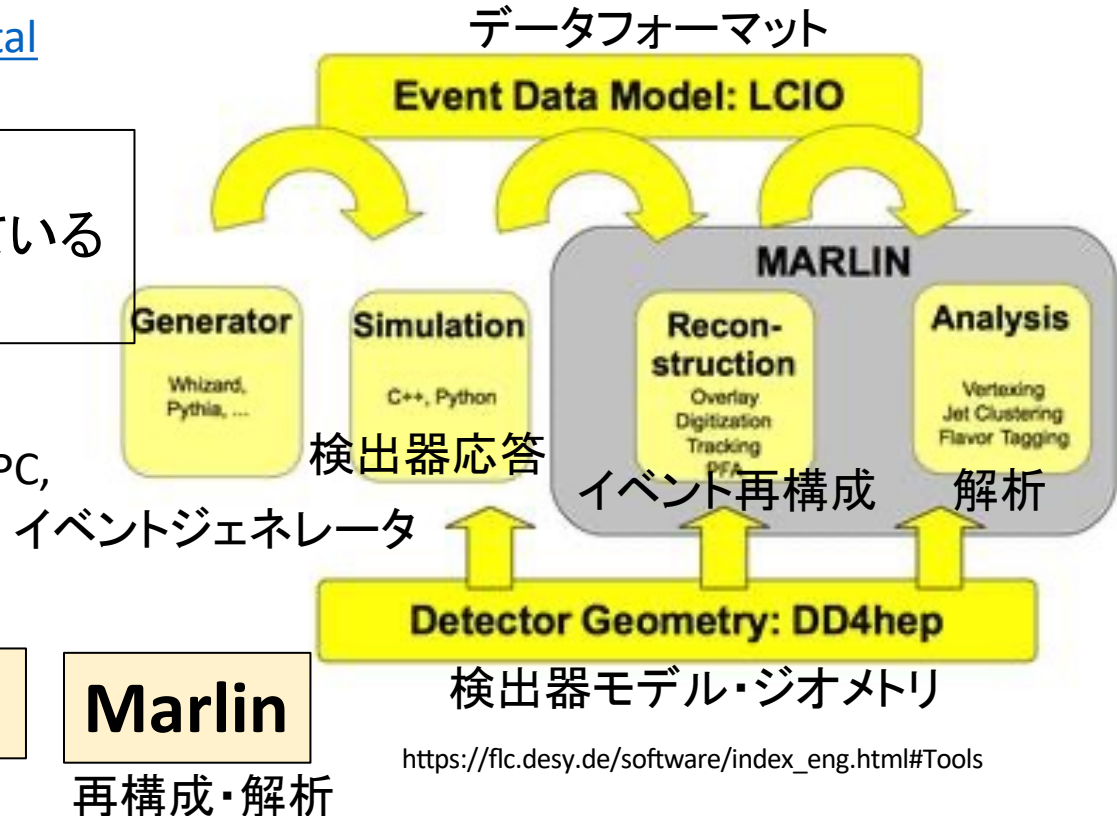
DD4hep (DDSim)

Marlin

データフォーマット

検出器シミュレーション

再構成・解析



https://flc.desy.de/software/index_eng.html#Tools

ILCSoft tutorial : https://agenda.linearcollider.org/event/9272/contributions/48222/attachments/36966/57845/ilcsoft_tutorial_jul21.pdf
<https://agenda.linearcollider.org/event/9272/>



2024/7/7

ヒッグスファクトリーの解析技術

LCIO データフォーマット

LCIO

ヒッグスファクトリー実験で使用されている共通データフォーマット

Event Data Model (EDM)

ヒッグスファクトリー実験の
データは **LCIO** フォーマットで保存される

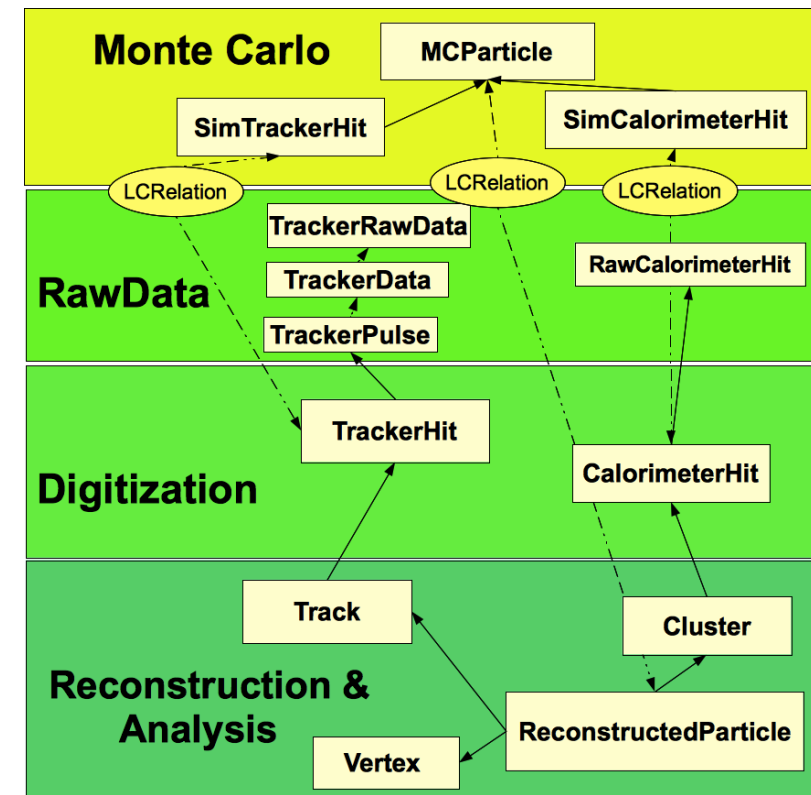


ジェネレータの粒子情報 MCParticle

検出器ヒット情報 TrackerHit, CalorimeterHit

再構成情報 Track, Cluster, Vertex

再構成粒子情報 ReconstructedParticle



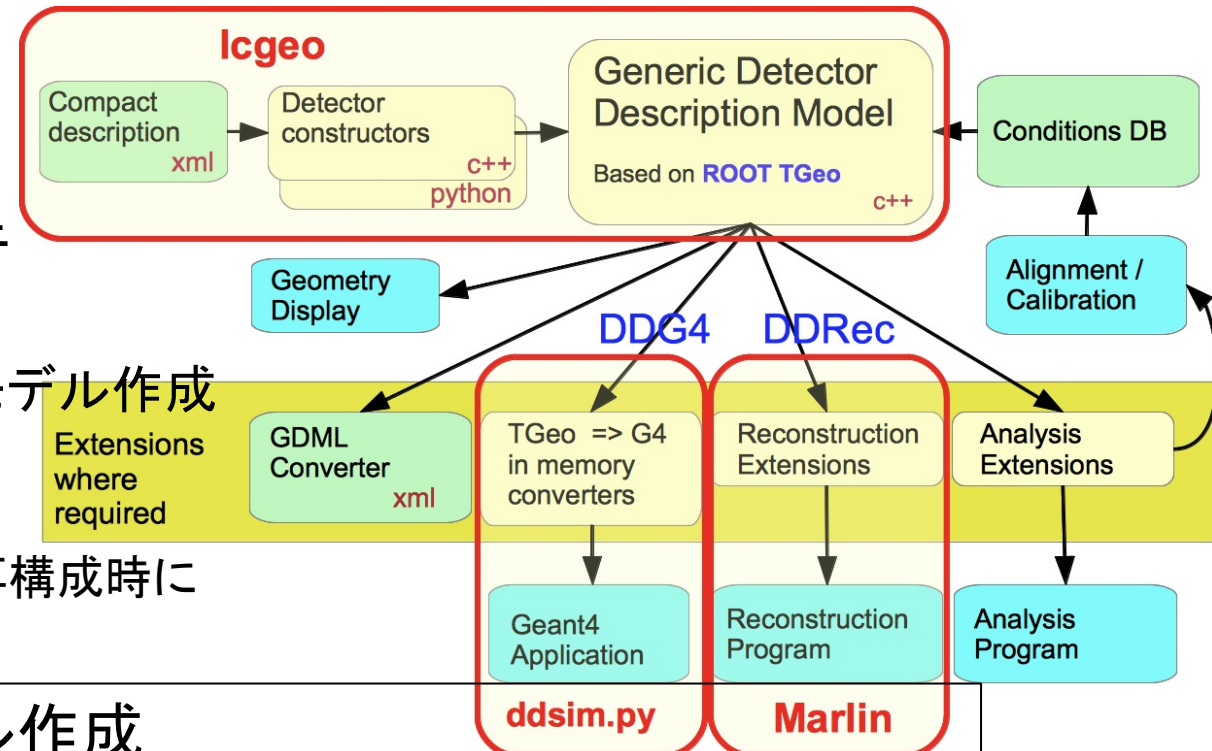
解析する際には Root フォーマットに変換するか、LCIO ライブライアリが必要

DD4hep 検出器フルシミュレーション

DD4hep (DDSim)

検出器ジオメトリの作成・利用
検出器シミュレーションの実行

- RootのTGeoベース
XML から Tgeoベースの検出器モデル作成
- Geant4 シミュレーションとイベント再構成時に
同じ検出器モデルを使用可
- **Icgeo** : LC用の検出器モデル作成
- **DDG4 (DDSim)** : Geant4でのフルシミュレーション
→ **ddsim.py** を使って検出器フルシミュレーション実行 (DDSim)



カロリメータ構造を変えたシミュレーションや、
ILC以外の検出器の詳細構造開発などは個々の開発を行っていく

Marlin イベント再構成

Marlin

イベント再構成や解析のフレームワーク

- 各要素は Processor として登録
- XMLファイルでパラメータやProcessorを制御
- Processor モジュールを読み込むか
自分で解析Processorを作成したりする

イベント再構成の流れ

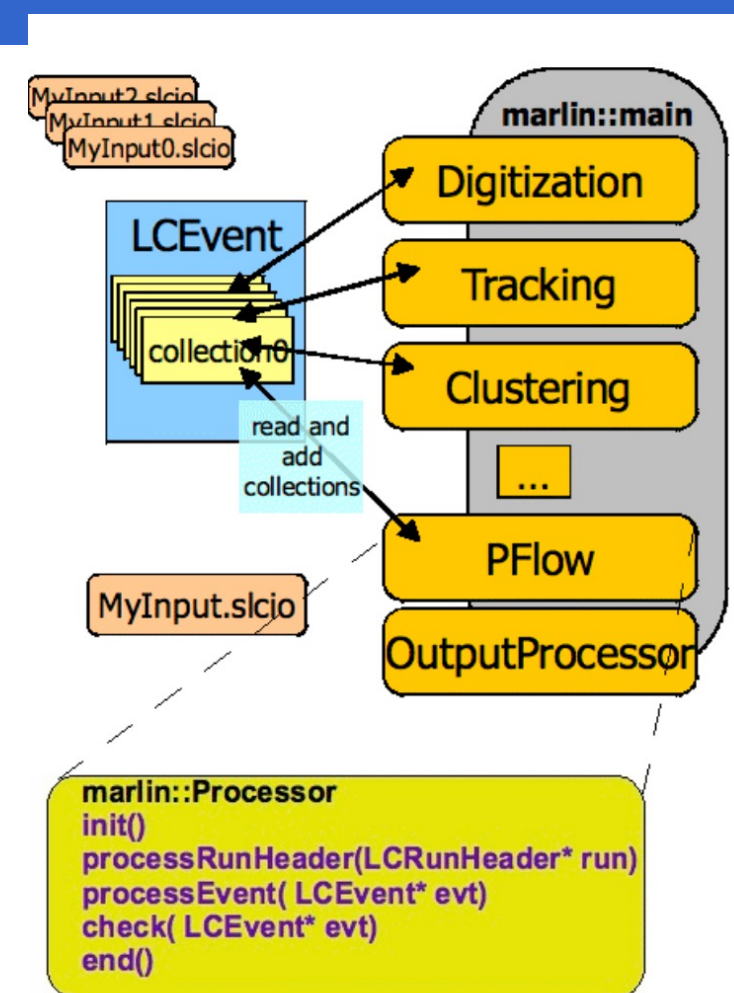
- 検出器ヒット情報のDigitization
- トラッキング
- カロリメータヒットクラスタリング
- PFA (標準は PandoraPFA)**
- ジェットクラスタリング & フレバータグ**
- LCIOファイルの保存 (REC, DST)

その他の
プロセッサ

IsolatedLeptonFinder : $Z \rightarrow \mu\mu$ の検出

MarlinKinfit : Kinematic Fitting

TauFinder : τ 崩壊事象の再構築



<https://ilcsoft.desy.de/Marlin/current/doc/html/index.html>

<https://github.com/iLCSoft/MarlinKinfit>

Particle Flow Algorithm (PFA)

ジェットのエネルギー分解能が最もよくなるように、
粒子同定を行う手法

60% : 荷電粒子 : 飛跡検出器

30% : 光子 : 電磁カロリメータ

10% : 中性ハドロン : ハドロンカロリメータ

PFAの手順

1. カロリメータヒットクラスタリング
2. トランク・クラスター・マッチング
3. 粒子同定 (PFO : ReconstructedParticle)

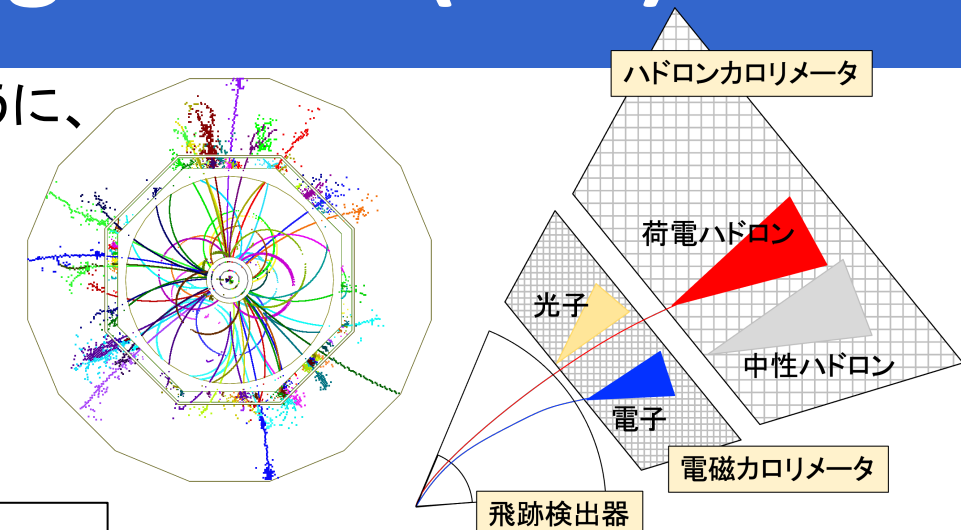
ジェットエネルギー分解能

$$\frac{\sigma_E}{E} = 3 \sim 4\% = \sim 30\%/\sqrt{E} @ 100 \text{ GeV}$$

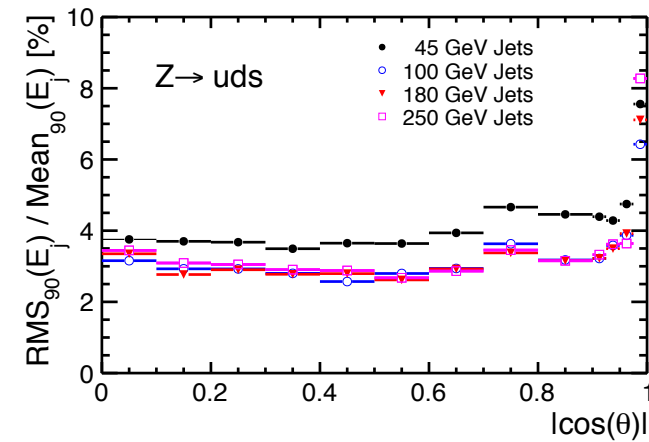
iLCSoftに組み込まれたPFAアルゴリズム

PandoraPFA

PFAの新たな手法の開発、機械学習を使った手法の開発



PFAの鍵 : 微細分割カロリメータ



ジェットクラスタリング

再構成したPFOをさらにクオークジェットとしてジェットクラスタリングを行う

ジェットクラスタリングのアルゴリズム

Durham

$$d_{ij} = 2 \min(E_i^2, E_j^2) (1 - \cos \theta_{ij})$$

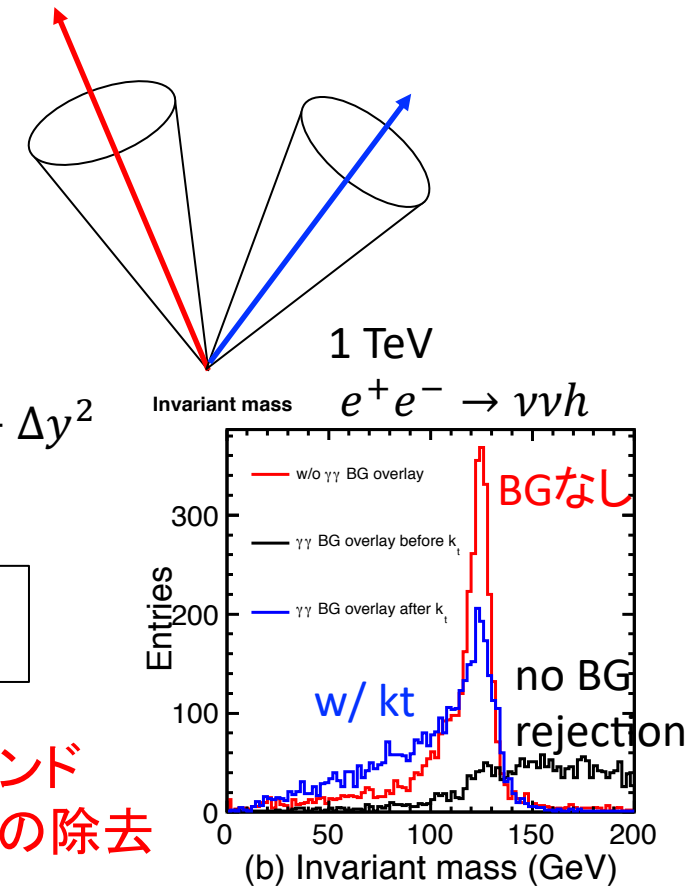
kt

$$d_{ij} = \min(P_{Ti}^{2n}, P_{Tj}^{2n}) \frac{\Delta R_{ij}^2}{R^2} \quad \Delta R_{ij}^2 = \Delta\phi^2 + \Delta y^2$$

Valencia

$$d_{ij} = \min(E_i^{2\beta}, E_j^{2\beta}) (1 - \cos \theta_{ij}) / R^2$$

ビームバックグラウンド
 $\gamma\gamma \rightarrow \text{hadron}$ 事象の除去



Nuclear Physics B Proceedings Supplement 00 (2014) 1–3

フレバータギング (LCFIPlus)

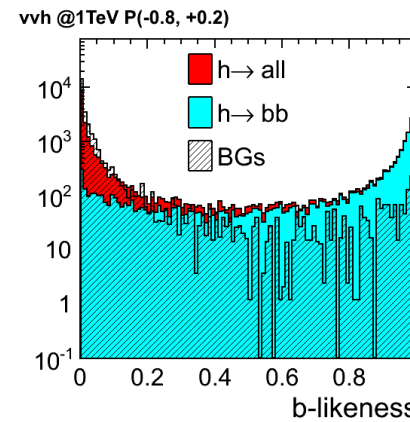
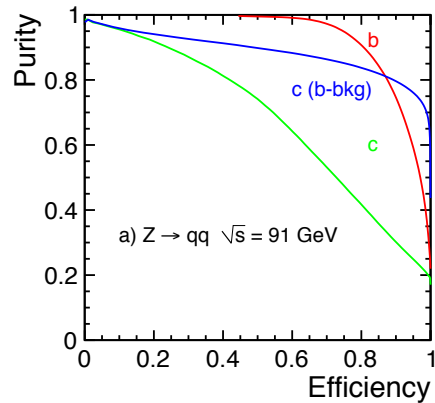
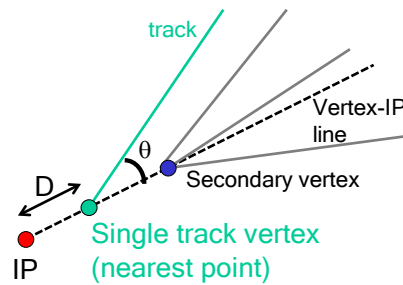
<https://github.com/lcfiplus/LCFIPlus>

ジェットイベントの中で、b-jet, c-jet, other-jetなどFlavorを同定する

- vertex finding
- ジェットクラスタリング
- フレバータギング

Flavour Taggigng : MVA using impact parameters, vertex mass etc

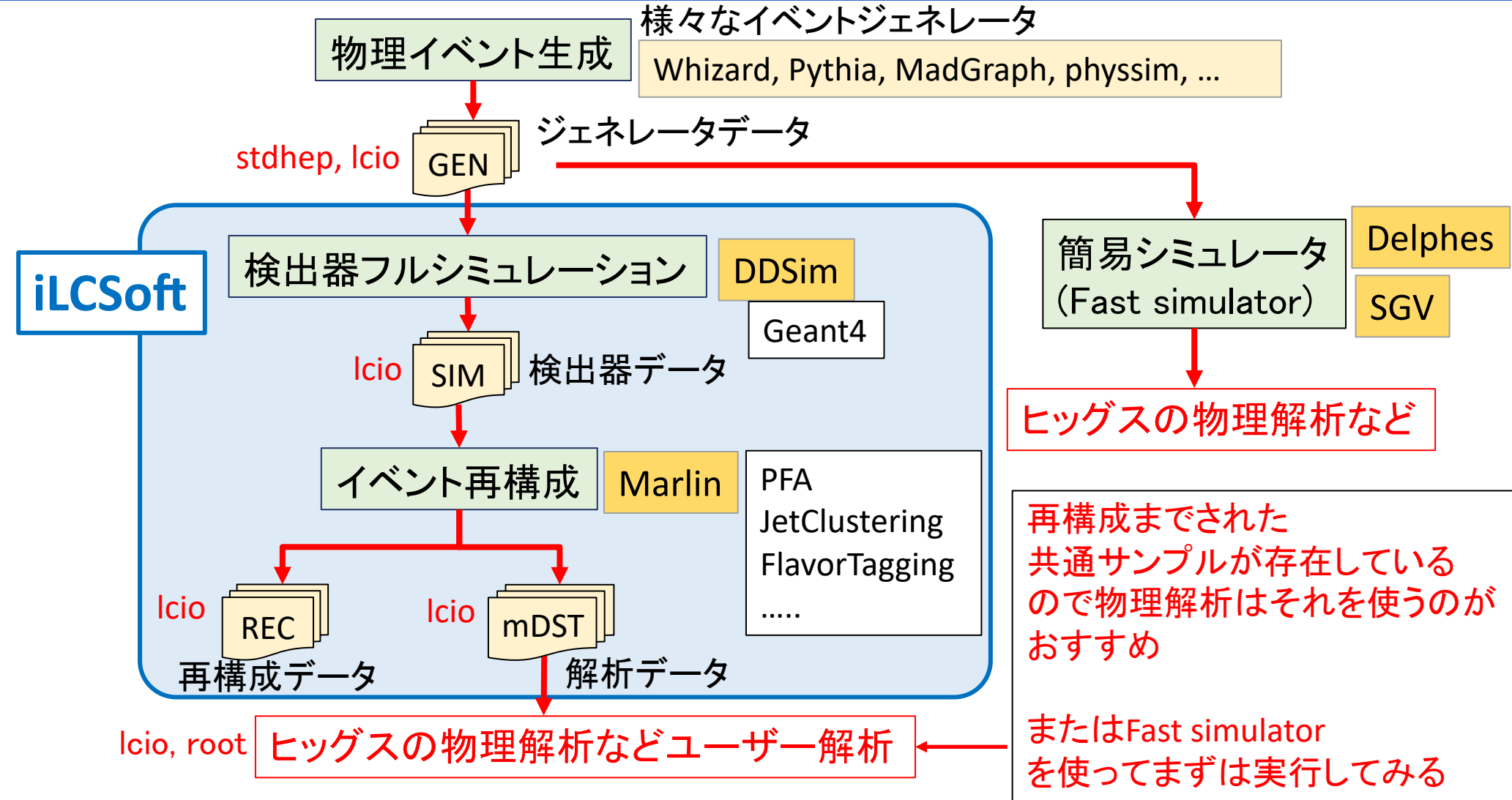
LCFIPlus にはジェットクラスタリングも内包している (Default : Durham)



b/cジェットの同定
バックグラウンドの除去

最近は MVA から、機械学習を用いた Flavor tagging の開発が行われている

物理解析をやる場合



物理事象の再構成と物理解析

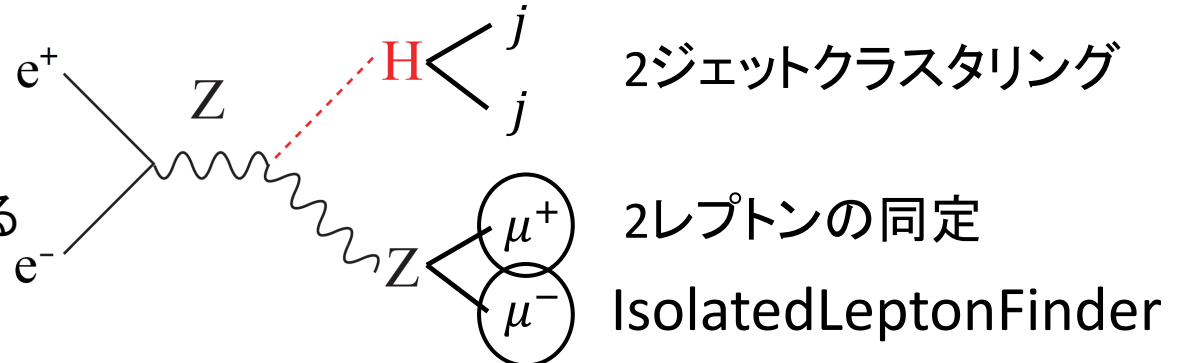
例えばヒッグスの反跳質量解析

$$Zh \rightarrow \ell\ell h \rightarrow 2\ell + 2j$$

終状態毎に再構成の仕方を変える

$$Zh \rightarrow qqh (4j), vvh (2j)$$

→解析Processorの準備

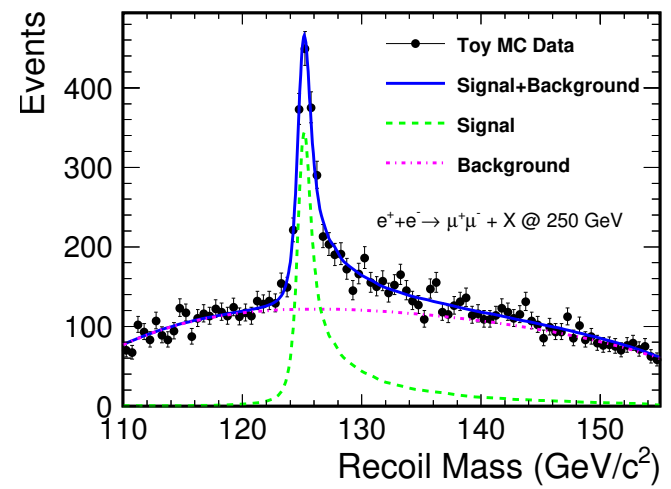
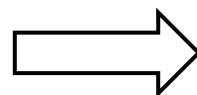
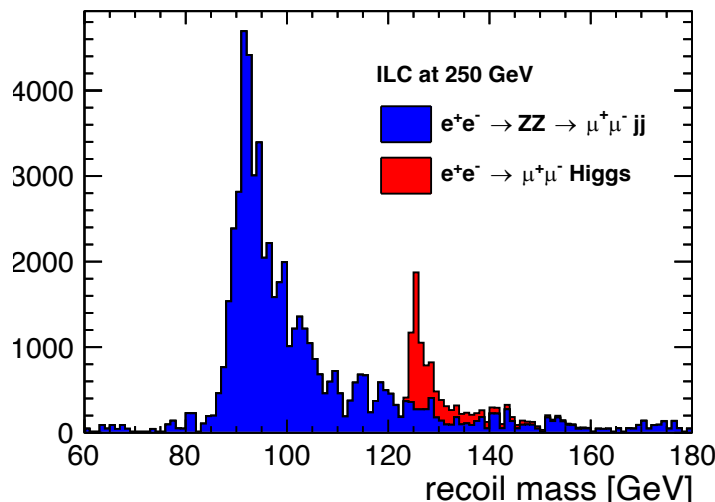


2ジェットクラスタリング

2レプトンの同定

IsolatedLeptonFinder

1. 最終的なヒッグスイベントの同定
2. バックグラウンドの除去 (カット、MVAの利用) : 主なBG : $ZZ, WW \rightarrow 2\ell + 2j$
3. 信号事象のフィットや事象の数え上げ→物理量の評価 (質量測定精度など)





iLCSoftの利用 : CVMFS

CVMFS (CernVM-File System) 共通ソフトウェアの分散共有サービス

ソフトウェアをマウントするだけで利用でき、コンパイル・インストールの手間がない
→初めてILCの解析を行う際には、iLCSoftを自分でインストールするより
すでに準備されたCVMFSを利用するのが早道

KEKCCなどでは各グループソフトが準備されているので、自分で設定する必要もない

iLCSoftのあるレポジトリ : /cvmfs/ilc.desy.de/sw

```
$ source /cvmfs/ilc.desy.de/sw/x86_64_gcc82_centos7/v02-02-03/init_ilcsoft.sh
```

source するだけで
iLCSoftを使う環境が整う

2024年6月末でEL7 EOLの移行期で、
まだ、EL8, EL9向けの
ソフトは準備されていませんが。。。

ILCのCVMFS設定方法は以下を参照
<https://twiki.cern.ch/twiki/bin/view/CLIC/CLICVmfs>

```
$ ls -l /cvmfs/ilc.desy.de/sw/
total 55
drwxr-xr-x 12 cvmfs cvmfs 4096 Aug 17 2022 .
drwxr-xr-x  7 cvmfs cvmfs 4096 Dec  7 2013 ..
-rw-r--r--  1 cvmfs cvmfs    0 Jun  4 2019 .cvmfscatalog
drwxr-xr-x  3 cvmfs cvmfs 4096 Mar  4 2017 Eigen/
drwxr-xr-x 39 cvmfs cvmfs 4096 Mar 12 23:21 ILDConfig/
drwxr-xr-x  3 cvmfs cvmfs 4096 Jul  1 2015 boost/
drwxr-xr-x 20 cvmfs cvmfs 4096 Mar 12 22:18 x86_64_gcc103_centos7/
drwxr-xr-x 21 cvmfs cvmfs 4096 Mar 11 2020 x86_64_gcc44_sl6/
drwxr-xr-x 17 cvmfs cvmfs 4096 Jun  4 2019 x86_64_gcc48_cc7/
drwxr-xr-x 23 cvmfs cvmfs 4096 Nov 26 2016 x86_64_gcc48_sl6/
drwxr-xr-x 28 cvmfs cvmfs 4096 Jun  4 2019 x86_64_gcc49_sl6/
drwxr-xr-x 24 cvmfs cvmfs 4096 Nov 23 2021 x86_64_gcc82_centos7/
drwxr-xr-x 22 cvmfs cvmfs 4096 Aug 14 2020 x86_64_gcc82_sl6/
```

標準設定ファイル ILDConfig

ILDグループを例にとると、

標準の設定ファイル、実行ファイル **ILDConfig** が準備されている

<https://github.com/iLCSoft/ILDConfig/tree/master/StandardConfig/production>

- MCサンプルの大量生成などでは、この中にある標準セットアップを使用
- iLCSoft を動かす Example も同梱されている

/cvmfs/ilc.desy.de/sw/ILDConfig/v02-02/StandardConfig/production/

標準のビームパラメータデータ

Config/Parameters250GeV.xml
Config/Parameters350GeV.xml
Config/Parameters500GeV.xml
Config/Parameters1000GeV.xml

DDSim の標準 steering file

mc-2020 で生成されたサンプルでは
以下のソフトウェアバージョンを使用

250 GeV : ILDConfig/iLCSoft v02-02
500 GeV : ILDConfig/iLCSoft v02-02-03

/cvmfs/ilc.desy.de/sw/ILDConfig/v02-02/StandardConfig/production/ddsim_steer.py

Marlin の標準再構成 steering file

/cvmfs/ilc.desy.de/sw/ILDConfig/v02-02/StandardConfig/production/MarlinStdReco.xml

標準的なイベント生成などはここを参照にしてスタートする



ILDフルシミュレーションサンプル

ILDドキュメントを書いたりする(Snowmass, European strategyなど)際に、
ILDグループ共通で使用する大規模なMCサンプルが生成されている

	DBD (2013)	IDR (2019)	mc-2020 (2020)
Aim	Physics study		Detector Opt.
Ecm	250 GeV (250 fb^{-1}) 350, 500 GeV, 1 TeV	500 GeV	$250 \text{ GeV (1 ab}^{-1}\text{)}$
Large cross section SM	$40\text{--}100 \text{ fb}^{-1}$		$1 \text{ to } 5 \text{ ab}^{-1}$
Beam param	TDR_ws	TDR_ws	250-SetA
GEN sample	Whizard 1.95 stdhep	Re-use DBD sample	Whizard 2.8.5 slcio
Detector SIM	Mokka	DDSim	DDSim
ILCSoft	v01-16	v02-00/v02-00-01	v02-02
Detector model		Hybrid CAL L5/S5	Hybrid CAL L5

フルシミュレーションサンプルを使用するには ILD guest account が必要

mc2020 サンプルのまとめ : <https://ild.ngt.ndu.ac.jp/mc-prod/prodmon/prodsum-mc2020.html>

GRIDでのイベントの大量生成・解析 (ILCDirac)

高統計MCデータを準備するため、分散コンピューティングシステム (GRID)を使用

GRIDのミドルウェアにDIRACを使用



ILCではDIRACの拡張：ILCDiracを使用



ILC向けのリソースを使うには証明書の発行と
ILC-VO (VO : Virtual Organization)に所属が必要
ILC VOMS → IAM に移行段階
(EL7 EOL → EL8/9 移行段階で不安定な状態)

A screenshot of the ILCDirac web interface. On the left, there is a search and filter panel for jobs. The main area shows several plots: "Running jobs by FinalStatus" (red box), "Running jobs by JobType" (green), "Running jobs by Site" (blue), and "Failed Transfers by Channel" (purple). Each plot includes numerical data for Max, Average, and Current values.

WEBインターフェースを使って、
ジョブの管理やプロットの作成が可能

- ファイルの共有
- MC生成ジョブの大量処理
- ファイルの大量転送
- 大量のユーザー解析

簡易シミュレータ (Fast simulator)

検出器シミュレーションをパラメタライズして簡易的に行うことで
フルシミュレーションよりも高速に
ジェットクラスタリング、トラッキング、イベント再構成を行う

フルシミュレーションデータに
合うようにチューンされている

Delphes : Fast Simulation of a Generic Collider Experiment

<https://cp3.irmp.ucl.ac.be/projects/delphes>

<https://github.com/delphes/delphes>

Card : 検出器形状の入力ファイルを準備して実行する

ILCgen : ILC generic 検出器Cardが準備されている

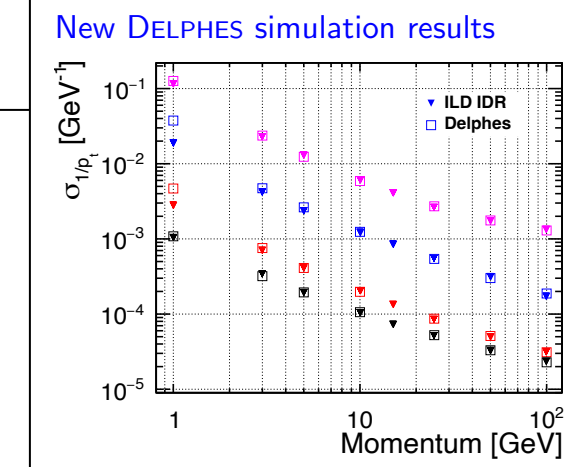
SGV : Simulation a Grande Vitesse

https://www.desy.de/~berggren/sgv_ug/

<https://gitlab.desy.de/mikael.berggren/sgv>

<https://indico.cern.ch/event/868940/contributions/3814465/>

フルシミュレーションを行う前の簡易的なgeneratorイベントの確認



ビーム偏極度の混ぜ方

実際のILCビーム衝突におけるビーム偏極度にスケールするためには
ビームの偏極度に対応する断面積を求める必要がある

ビーム偏極度 (P_{e^-}, P_{e^+}) = (-80%, +30%) など

$$P = \frac{N_R - N_L}{N_R + N_L}$$

$$\begin{aligned} \sigma(P_{e^-}, P_{e^+}) &= \frac{1}{4} \{ (1 + P_{e^-})(1 + P_{e^+})\sigma_{RR} + (1 - P_{e^-})(1 - P_{e^+})\sigma_{LL} \\ &\quad + (1 + P_{e^-})(1 - P_{e^+})\sigma_{RL} + (1 - P_{e^-})(1 + P_{e^+})\sigma_{LR} \} \end{aligned}$$

σ_{LR} は $eL.pR$ (electron/positron Left/Right handed 100% polarized) の断面積

無偏極 (P_{e^-}, P_{e^+}) = (0%, 0%) の場合 $\sigma_0 = \frac{1}{4}(\sigma_{RR} + \sigma_{LL} + \sigma_{RL} + \sigma_{LR})$

electron L (eft-handed)
positron R (ight-handed)

eL.pR
eR.pL
eL.pL
eR.pR

rv01-16-p10_250.sv01-14-01-p00.mILD_o1_v05.E250-TDR_ws.l106479.Pe2e2h.eL.pR-00001-

\sqrt{s}	$\int \mathcal{L} dt$	-+	+-	++	--
250 GeV	2 ab ⁻¹	0.9 ab ⁻¹	0.9 ab ⁻¹	0.1 ab ⁻¹	0.1 ab ⁻¹
350 GeV	200 fb ⁻¹	135 fb ⁻¹	45 fb ⁻¹	10 fb ⁻¹	10 fb ⁻¹
500 GeV	4 ab ⁻¹	1.6 ab ⁻¹	1.6 ab ⁻¹	0.4 ab ⁻¹	0.4 ab ⁻¹
1 TeV	8 ab ⁻¹	3.2 ab ⁻¹	3.2 ab ⁻¹	0.8 ab ⁻¹	0.8 ab ⁻¹
91 GeV	100 fb ⁻¹	40 fb ⁻¹	40 fb ⁻¹	10 fb ⁻¹	10 fb ⁻¹
161 GeV	500 fb ⁻¹	340 fb ⁻¹	110 fb ⁻¹	25 fb ⁻¹	25 fb ⁻¹

2 ab⁻¹ : (-+, +-, ++, --) = (45%, 45%, 5%, 5%)

(P_{e^-}, P_{e^+}) = (-80%, +30%)

900 fb⁻¹ at 250 GeV

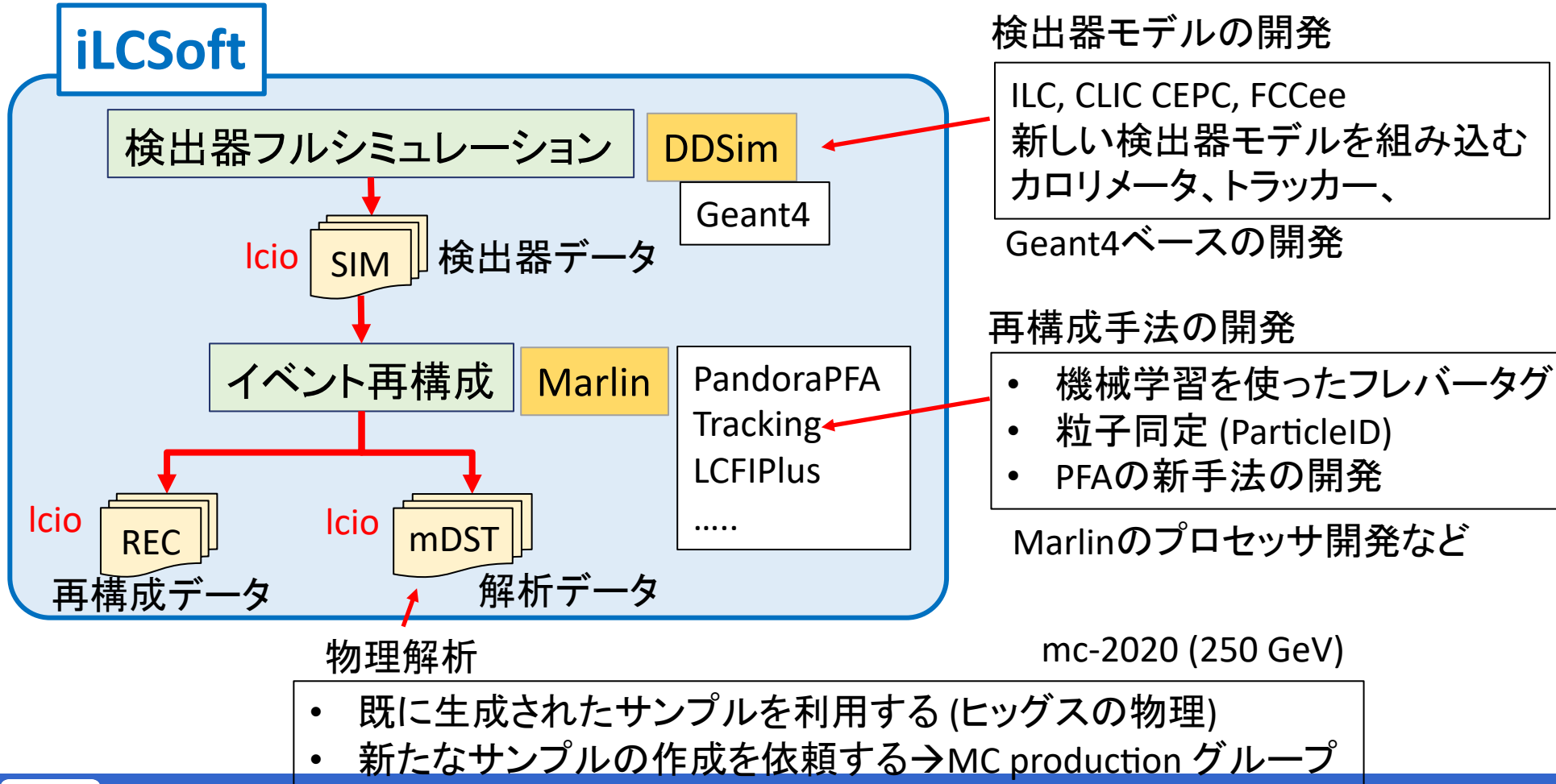
ILC Physics scenario

<https://arxiv.org/abs/1506.07830>

<https://arxiv.org/abs/1710.07621>

解析手法の開発

ヒッグスファクトリーの実験グループで、
何か研究・開発するとしたらどんなことをやるのか？



ヒッグスファクトリー一定例 物理・ソフトウェア研究ミーティング (Asia group)

<https://agenda.linearcollider.org/category/276/>

The screenshot shows the ILC Agenda website interface. At the top, there's a navigation bar with the ILC logo, a 'Public' dropdown, and Japanese language selection. Below the header, there are links for 'Home', 'Create event', and 'My profile'. The main content area has a search bar and a 'Create event' button. On the left, a sidebar lists 'regular ILC-Asia physics meetings' and 'regular ILC-asia and ILC-JP physics meetings'. The main content area displays a calendar for June 2024 with three events listed under the 'Asian Physics and Software Meeting'. A detailed view of the first event is shown on the right, including its title, date (Thursday 27 Jun 2024, 14:30 → 16:20 Asia/Tokyo), and location (Zoom Connection). It also includes a Zoom link, TV meeting details (via KEK Zoom), and a speaker list.

会議チエア
東京大学
末原さん、Junpingさん

regular ILC-Asia physics meetings

regular ILC-asia and ILC-JP physics meetings

June 2024

27 Jun Asian Physics and Software Meeting

20 Jun Asian Physics and Software Meeting

13 Jun Asian Physics and Software Meeting

There are 110 events in the past. Show

Asian Physics and Software Meeting

Thursday 27 Jun 2024, 14:30 → 16:20 Asia/Tokyo

Description Zoom Connection:
<https://zoom.us/j/99939837618?pwd=VzIBTWVSbnprV2tJdHZ0SzBxZUtJZz09>

TV meeting(via KEK Zoom):
1. 207.226.132.110
2. meeting ID: 999 3983 7618
passcode: 153618

14:30 → 14:40 Schedule / Announcements / Discussion topics

14:40 → 14:45 Higgs to ss study
Speakers: Ritsuya Hosokawa (Iwate University), Ryuki Sugawara

14:45 → 14:50 right handed neutrino
Speaker: Jurina Nakajima (SOKENDAI/KEK)
[kinkstudy_2024062...](#)

14:50 → 14:55 Study of spin correlation in e+e- → tau tau

ヒッグスファクトリー実験において
物理・測定器・ソフトウェアについての日本国内での研究ミーティング
どのような研究テーマがあるのか知る1つのチャンネル



2024/7/7

ヒッグスファクトリーの解析技術

24

コンピューティングサマースクールについて

<https://wiki.kek.jp/display/PPCC/PPCC-SS-2024>

ページ / Particle Physics Computing Consortium / Event

ILCソフトウェアの講習会はありませんが。。。

PPCC-SS-2024

作成者 : NAKAMURA Tomoaki、最終編集日 : 6月 1

解析技術やコンピューティングについての知識や技術を学ぶ機会

第七回粒子物理コンピューティングサマースクール (PPCC-SS-2024)

開催期間・会場

2024年7月29日から8月2日

KEKつくばキャンパス

主会場: 小林ホール

副会場: 研究本館第1会議室, 3号館1階

会議室

参加申し込みについて

対象: 修士課程学生 (博士後期課程学生も参加可)

定員: 50名 (事前参加登録必須)

[参加申し込み](#)

講習・実習環境について

クラウド上のサーバーを使います。
sshクライアントが使えるラップトップPCをご用意ください。Windowsの場合にはX Window System (X11) が

開催趣旨

粒子物理コンピューティング懇談会
コンピューティング技術利用に関する5日間、高エネルギー加速器研究会「」を開催します。

今日、粒子物理（素粒子・原子核を収集することから、コンピュータ化するためには、最先端のコンピュータ化研究者の育成が急務であること）
そういう教育環境が整った研究機関の協力を得てコンピューティング（Python、C++などのプログラミング、コンテナ技術、検出器シミュレーション、量子コンピューティングなどを学ぶ）
サマースクールでは計算機の基礎的に、各人が課題を決めて行う4日間

VirtualBox のインストールが必要です。ARMチップ搭載のラップトップPCはVMを用意しませんので、クラウド環境のみを使用してください。

サポートが終了しているOSはKEKではご使用いただけませんのでご注意ください。

事前準備の詳細（準備中）

これまでのサマースクール

- 第六回: 2023年
- 第五回: 2022年
- 第四回: 2021年
- 第三回: 2019年
- 第二回: 2018年
- 第一回: 2017年

謝辞

第七回粒子物理コンピューティングサマースクールは、東京大学素粒子物理国際研究センターと高エネルギー加速器研究機構による令和6年度加速器科学国際育成事業 (INAS-NX) からのサポートを受けています。
解析TMVAやDeep Learning発展編、ソフトウェア開発ツールおよび最新のC++の言語仕様と新機能

プログラム

7/29 (月)	7/30 (火)	7/31 (水)	8/1 (木)	8/2 (金)
9:00 – 10:00 開会あいさつ 参加者案内 実習テーマ説明	9:00 – 10:00 プログラミング言語 Python	9:00 – 10:00 シミュレーションToolKit Geant4	9:00 – 10:00 計算機クラスター	9:00 – 10:30 発表会
休憩 (15分)	休憩 (15分)	休憩 (15分)	休憩 (15分)	休憩 (15分)
10:15 – 11:15 解析フレームワーク Root	10:15 – 11:15 Deep Learning基礎編	10:15 – 11:15 計算機とコンテナ	10:15 – 11:15 分散コンピューティング	10:45 – 12:15 発表会
休憩 (15分)	休憩 (15分)	休憩 (15分)	休憩 (15分)	休憩 (60分)
11:30 – 12:30 解析フレームワーク RooFit, RooStats	11:30 – 12:30 GPUプログラミング	11:30 – 12:30 ネットワークの仕組み	11:30 – 12:30 量子コンピューティング	13:15 – 14:45 発表会
昼休憩 (60分)	昼休憩 (60分)	昼休憩 (60分)	昼休憩 (60分)	休憩 (15分)
13:30 – 15:00 パラレル講習 計算機応用 (多変量解析TMVA) ATLASソフトウェア Belle IIソフトウェア	13:30 – 15:00 パラレル講習 計算機応用 (Deep Learning発展編) ATLASソフトウェア Belle IIソフトウェア	13:30 – 15:00 パラレル講習 計算機応用 (C++の新機能) ATLASソフトウェア Belle IIソフトウェア	13:30 – 15:00 パラレル講習 計算機応用 (ソフトウェア開発) ATLASソフトウェア Belle IIソフトウェア	15:00 – 16:30 発表会
15:00 – 18:00 施設見学 KEK中央計算機 SuperKEKB加速器 放射光研究施設	15:00 – 18:00 実習	15:00 – 18:00 実習	15:00 – 18:00 実習	16:30 – 17:00 閉会あいさつ

まとめ

ILC以外の実験でもヒッグスファクトリー実験全体でiLCSoftを用いた解析フレームワークを用いて解析を行なっています。

ヒッグス物理の解析や検出器開発など様々やれることが多くあるかと思います。興味のある方は担当者に声をかけていただくか、ミーティングにつないでみてください。

スライドのBackupに実際に動かしてみることのできる過去の講習会の情報とチュートリアルの手順も掲載しておきましたので、実際に動かしてみて分布を見てみるなど確認してみていただくことも可能です。

BACKUP

チュートリアル (IDT-WG3 software group)

IDT-WG3 (software group)
が何回かシリーズで
ソフトウェアについての
チュートリアルを開催しています。

<https://agenda.linearcollider.org/category/273/>

ヒッグスファクターでの
解析に興味がある人向けの
初心者向け講習

DELPHES+miniDST
(ヒッグス反跳質量分布を作つてみよう)
残念ながら現在LCIOのインストールが
うまく動かないようで修正必要。

May 2022

May 18 Jenny List, "tutorial: MarlinKinFit"

October 2021

Oct 13 tutorial: SGV - fast simulation

August 2021

Aug 18 tutorial: Jet flavor identification with LCFIPlus

July 2021

Jul 21 tutorial: Introduction to iLCSoft

June 2021

Jun 23 tutorial: DELPHES + miniDST

ILC 物理解析・ソフトウェア講習会

2021年に行われたILC物理解析・ソフトウェア講習会 (part1)

<https://kds.kek.jp/event/37644/timetable/>

KEKCCで動かすことを前提に作られた講習で、
初めてILCのソフトウェアツールを使用するのに向いている (日本語資料)

簡易シミュレーションを用いた物理解析

→ここにある資料はILDのフルシミュレーションデータを使っていないので、
ILDグループのメンバーシップは必要ない模様。

(ILDのフルシミュレーションデータを使う時は、ゲストメンバーシップが必要)

LClOのインストールなど一部修正して動くようにしたものを以下に掲載しています。

<https://github.com/onohiroaki/ILCTutorial>

CVMFSの以下が利用できることが前提になっています。KEKCC等利用してください。

/cvmfs/ilc.desy.de/
/cvmfs/sft.cern.ch/

$Z h \rightarrow \mu\mu h$ 反跳質量分布

```
$ git clone https://github.com/onohiroaki/ILCTutorial.git
$ cd ILCTutorial
```

1. Delphes と LCIO のダウンロードとインストール

```
$ ./1_build.sh
```

delphes/
LCIO/

2つのフォルダが生成・インストールされ
stdhep ファイル(generator)がコピーされる

2. Delphes と LCIO の環境設定

```
$ ./2_setup.sh
```

E250-TDR_ws.P4f_zz_sl.Gwhizard-1_95.eL.pR.I106575.001.stdhep
E250-TDR_ws.P4f_zz_sl.Gwhizard-1_95.eR.pL.I106576.001.stdhep
E250-TDR_ws.Pe2e2h.Gwhizard-1_95.eL.pR.I106479.001.stdhep
E250-TDR_ws.Pe2e2h.Gwhizard-1_95.eR.pL.I106480.001.stdhep

3. stdhep ファイルから delphes2lcio を使って、イベント再構成、LCIOファイルへの変換

```
$ ./3_run.sh
```

delphes_E250.P4f_zz_sl.eL.pR.slcio
delphes_E250.P4f_zz_sl.eR.pL.slcio
delphes_E250.Pe2e2h.eL.pR.slcio
delphes_E250.Pe2e2h.eR.pL.slcio

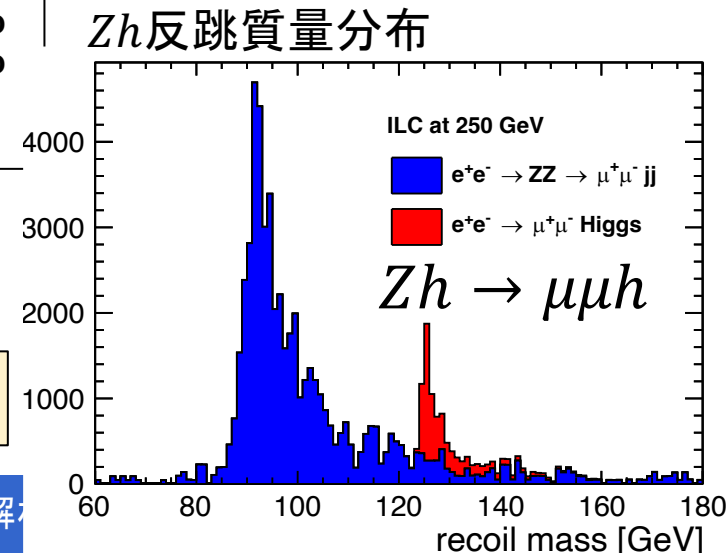
4. Icio ファイルを Root で解析する。

```
$ root higgs_recoil_with_bkg.C
```

$$M_{recoil}^2 = (\sqrt{s} - E_{\ell\bar{\ell}})^2 - p_{\ell\bar{\ell}}^2 = s - 2E_{\ell\bar{\ell}}\sqrt{s} + m_{\ell\bar{\ell}}^2$$



ヒッグスファクトリーの解説



iLCsoftのexample実行

iLCSoftのExample実行

標準的なiLCSoftの動かし方は以下のサイトのREADMEを参照

<https://github.com/iLCSoft/ILDConfig/tree/master/StandardConfig/production>

ILDConfig 内に iLCSoft の Example が入っている

/cvmfs/ilc.desy.de/sw/ILDConfig/v02-02-03/StandardConfig/production/

1. iLCSoftの環境設定

CVMFSがあればこれだけで iLCSoft を利用可能

```
$ source /cvmfs/ilc.desy.de/sw/x86_64_gcc82_centos7/v02-02-03/init_ilcsoft.sh
```

2. github から ILDConfig を持ってくる

```
$ git clone -b v02-02-03 https://github.com/iLCSoft/ILDConfig
$ cd ILDConfig/StandardConfig/production
```

または CVMFS から ILDConfig のExample コードをコピー

```
$ cp -r /cvmfs/ilc.desy.de/sw/ILDConfig/v02-02-03/StandardConfig/production/ .
```

```
$ ls /cvmfs/ilc.desy.de/sw/ILDConfig/v02-02-03/StandardConfig/production/
./
...
Calibration/
CaloDigi/
Config/
Documentation/
Examples/
Gear/
GenerateGearFiles.py
GenerateSteeringFiles.py
HighLevelReco/
IsolatedLeptonTagging/
LCFIPPlusConfig/
MarlinStdReco.xml
MarlinStdRecoBeamCalPreMap.xml
MarlinStdRecoLCTuple.xml
MarlinStdRecoMiniDST.xml
MarlinStdRecoViewer.xml
MarlinStdRecoViewerDST.xml
PandoraSettings/
ParticleFlow/
README@
README.md
README_mini-DST.md
RootMacros/
ToRemove/
Tracking/
ddsim_steer.py
empty.xml
run_standard_workflow.sh
```

Examples/bbudsc_3evt/
の中にイベントサンプルもある

bbudsc_3evt.stdhep

iLCSoftのExample実行

3. 検出器シミュレーション DDSim を動かしてみる

```
$ ddsim --inputFiles Examples/bbudsc_3evt/bbudsc_3evt.stdhep ¥  
--outputFile bbudsc_3evt_SIM.slcio ¥  
--compactFile $lcgeo_DIR/ILD/compact/ILD_15_v02/ILD_15_v02.xml ¥  
--steeringFile ddsim_steer.py > ddsim.out 2>&1 &
```

ILDの標準検出器(ILD_15_v02)の検出器シミュレーションが3イベント実行され
bbudsc_3evt_SIM.slcio が作成される

4. イベント再構成ソフト Marlin を実行する

```
$ Marlin MarlinStdReco.xml ¥  
--constant.lcgeo_DIR=$lcgeo_DIR ¥  
--constant.DetectorModel=ILD_15_o1_v02 ¥  
--constant.OutputBaseName=bbudsc_3evt ¥  
--global.LCI0InputFiles=bbudsc_3evt_SIM.slcio
```

イベント再構成が実行され、解析用データが作成される
bbudsc_3evt_REC.slcio, bbudsc_3evt_DST.slcio

5. 解析データ DSTファイルの中身を見てみる

```
$ anajob bbudsc_3evt_DST.slcio
```

DSTファイルの中身

COLLECTION NAME	COLLECTION TYPE	NUMBER OF ELEMENTS
BuildUpVertex	Vertex	3
BuildUpVertex_RP	ReconstructedParticle	3
BuildUpVertex_V0	Vertex	1
BuildUpVertex_V0_RP	ReconstructedParticle	1
ClusterMCTruthLink	LCRelation	339
DistilledPF0s	ReconstructedParticle	112
GammaGammaCandidateEtaPrimes	ReconstructedParticle	1
GammaGammaCandidateEtas	ReconstructedParticle	3
GammaGammaCandidatePi0s	ReconstructedParticle	12
GammaGammaParticles	ReconstructedParticle	8
MCParticlesSkimmed	MCParticle	446
MCTruthClusterLink	LCRelation	339
MCTruthMarlinTrkTracksLink	LCRelation	82
MCTruthRecoLink	LCRelation	363
MarlinTrkTracks	Track	78
MarlinTrkTracksKaon	Track	78
MarlinTrkTracksMCTruthLink	LCRelation	82
MarlinTrkTracksProton	Track	78
PandoraClusters	Cluster	111
PandoraPF0s	ReconstructedParticle	120
PrimaryVertex	Vertex	1
PrimaryVertex_RP	ReconstructedParticle	1
RecoMCTruthLink	LCRelation	363
V0RecoParticles	ReconstructedParticle	3
V0Vertices	Vertex	3

標準サンプルのカテゴリ分け

<https://pages.uoregon.edu/jimbrau/ilc-snowmass-2021/500GeVinfo.html>

- general Standard Model sample:
 - **2f**: $e+e^- \rightarrow 2$ fermion processes. This includes the process $e+e^- \rightarrow Z\gamma$. Also, it includes a sample of $e+e^- \rightarrow \gamma e+e^-$ events with small $e+e^-$ invariant mass.
 - **4f**: $e+e^- \rightarrow 4$ fermion processes. This includes $e+e^- \rightarrow WW, ZZ$, with the heavy boson decays, and other diagrams contributing to the same partonic final states. This sample also includes $e+e^- \rightarrow e+e^- 2f$ diagrams with two virtual photons, for $m^2(\text{photon}) < -10 \text{ GeV}^2$.
 - **6f**: $e+e^- \rightarrow 6$ fermion processes. This includes $e+e^- \rightarrow t\bar{t}$, with the top decays, and other diagrams contributing to the same partonic final states. This sample also includes $e+e^- \rightarrow e+e^- 4f$ diagrams with two virtual photons, for $m^2(\text{photon}) < -(10 \text{ GeV})^2$.
 - **1f**: $e\gamma \rightarrow e\gamma$ processes.
 - **3f**: $e\gamma \rightarrow eZ, \nu W$, and contributions from more general $e\gamma \rightarrow e, \nu + 2$ fermion diagrams
 - **5f**: $e\gamma \rightarrow e, \nu + 4f$ processes, including $4f = WW, tb$
 - **aa_2f**: $\gamma\gamma \rightarrow 2$ fermion processes. This sample is disjoint from the 4f sample, including contributions from beamstrahlung photons ($m^2 = 0$) and ISR photons with smaller virtuality.
 - **aa_4f**: $\gamma\gamma \rightarrow 4$ fermion processes. This sample is disjoint from the 6f sample, including contributions from beamstrahlung photons ($m^2 = 0$) and ISR photons with smaller virtuality.
 - **higgs**: $e+e^- \rightarrow Zh$ and $e+e^- \rightarrow \nu\bar{\nu} hh$ (W fusion), $e+e^- \rightarrow e+e^- hh$ (Z fusion), $e+e^- \rightarrow Zhh$, $e+e^- \rightarrow \nu\bar{\nu} hh$, followed by general SM higgs decays
- Special Standard Model samples: The categories listed here are used for specialized studies.
 - **aa_lowpt**: A sample of high cross section but very low pT gamma gamma $\rightarrow 2$ fermion events, used for studies of pileup due to collisions in the same or nearby bunch crossings.
 - **aa_minijet**: A sample of gamma gamma \rightarrow hadrons events at very low CM energy (\sim few GeV), used for studies of pileup due to collisions in the same or nearby bunch crossings.
 - **eepairs**: Low mass, forward $e+e^-$ pairs created in an ILC bunch-bunch collision, to be used to understand the occupancy of the forward calorimeters.
 - **seeablepairs**: A small subset of the eepairs sample, including the pairs most likely to appear as backgrounds.
 - **4f-lowmee**: A sample of $e+e^- \rightarrow e+e^- 2f$ events filling in the region $m(ee) < 4 \text{ GeV}$ not covered by 4f.
 - **flavortag**: A special sample for $e+e^- \rightarrow 2f$ events to be used for detailed studies of heavy flavor tagging.
- Beyond-Standard-Model processes
 - **np-light-higgs**: $e+e^- \rightarrow Zh$ events with varying Higgs boson mass, to be used for studies of non-standard Higgs discovery using Z recoil.
 - **SUSY**: $e+e^- \rightarrow$ SUSY pair production for a particular parameter set.
 - **np-susy-higgsinos-verylowdm**: $e+e^- \rightarrow$ higgsino pairs for a parameter set with very small higgsino mass splitting.

ILD検出器モデル

ILCSoft (DD4hep) での検出器モデル

	Large	Small	ECAL	HCAL	
SIM	ILD_I5_v05	ILD_s5_v05	Both	Both	All included
REC	ILD_I5_o1_v02	ILD_s5_o1_v02	Silicon	Scintillator analog	Default
	ILD_I5_o2_v02	ILD_s5_o2_v02	Silicon	RPC semi-digital	
	ILD_I5_o3_v02	ILD_s5_o3_v02	Scintillator strip	Scintillator analog	
	ILD_I5_o4_v02	ILD_s5_o4_v02	Scintillator strip	RPC semi-digital	

o2, o3 のオプションは、カロリメータグループからの要望に応じて
SIM ファイルから Reconstruction を行なって REC だけ再構築する。

MC-2020 の標準サンプルでは

SIM : ILD_I5_v05 (全てのモデルを含むハイブリッド構造)

REC : ILD_I5_o1_v02 (シリコン/W ECAL + シンチレータ Analog HCAL)

_nobg がついていた場合には BG overlay なし (single particle, flavortag calibrationなど)

